

# Modèles simples d'opérations de mesure idéales

II-1

## ① Le modèle de Von Neumann (refs 1-2)

### a. Hypothèses simplificatrices

- Système  $S$  sur lequel on fait la mesure, d'observables  $A, B\dots$
- Particule  $P$ , de masse  $M$ , de position  $X$ , d'impulsion  $P$ , et qui va être considérée comme l'appareil de mesure
- Hamiltonien d'interaction  $S-P$

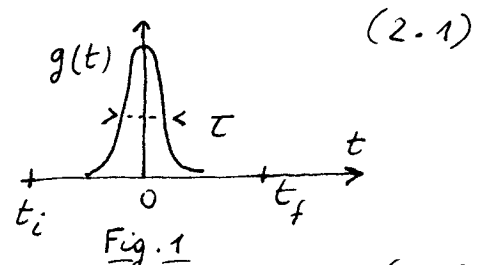
$$H_{SP} = g(t) A P$$

$A$ : observable de  $S$

$P$ : impulsion de  $P$

$g(t)$ : fonction donnée de  $t$ , très centrée autour de  $t=0$  et telle que

$$\int g(t) dt = g$$



(2.1)

On "branche" l'interaction entre  $S$  et  $P$  pendant un temps très court.

- La durée  $\tau$  de l'interaction est suffisamment courte pour que, pendant une durée de l'ordre de quelques  $\tau$ , on puisse négliger l'évolution propre due aux hamiltoniens propres  $H_S$  et  $H_P$  de  $S$  et  $P$ .

Par exemple, la masse  $M$  de  $P$  est suffisamment grande pour qu'on puisse négliger le déplacement de  $P$  pendant  $\tau$  ainsi que l'étalement de son paquet d'ondes.

- L'équation satisfait par l'opérateur d'évolution  $U(t, t_i)$  ( $t_i$ : temps initial - voir Fig. 1)

$$it \frac{d}{dt} U(t, t_i) = g(t) A P U(t, t_i) \quad (2.3)$$

s'intègre alors aisément ( $A$  et  $P$  commutent entre eux) pour donner à l'instant final  $t_f$

$$U(t_f, t_i) = \exp \left\{ -\frac{i}{\hbar} \left( \int_{t_i}^{t_f} g(t) dt \right) A P \right\} = e^{-igAP/\hbar} \quad (2.4)$$

### b. Etat du système global après interaction

(i) Cas où l'état initial de  $S+P$  est

$$|\psi(t_i)\rangle = |u_n\rangle \otimes |\varphi\rangle \quad (2.5)$$

$S$  est dans l'état propre  $|u_n\rangle$  de  $A$  de valeur propre  $a_n$  (supposée non dégénérée - voir plus loin pour la généralisation)

$$A |u_n\rangle = a_n |u_n\rangle \quad (2.6)$$

$P$  est dans l'état  $|\varphi\rangle$ , de fonction d'onde  $\varphi(x)$ , de largeur  $\Delta x$ , localisé autour de  $x=0$

- On a alors, compte tenu de (2.4), (2.5) et (2.6)

II-2

$$|\Psi(t_f)\rangle = U(t_f, t_i) |\Psi(t_i)\rangle = |u_n\rangle \otimes |\varphi_n\rangle \quad (2.7)$$

où

$$|\varphi_n\rangle = e^{-ig_{an}P/\hbar} |\varphi\rangle \quad (2.8)$$

On reconnaît dans (2.8) l'opérateur de translation  $e^{-ig_{an}P/\hbar}$  de  $P$ . En effet,

$$\begin{aligned} \varphi_n(x) &= \langle x | \varphi_n \rangle = \langle x | e^{-ig_{an}P/\hbar} | \varphi \rangle \\ &= \langle x - g_{an} | \varphi \rangle = \varphi(x - g_{an}) \end{aligned} \quad (2.9)$$

Après interaction avec  $S$  dans l'état  $|u_n\rangle$  où  $A$  a la valeur  $a_n$ ,  $P$  est traduite d'une quantité  $g_{an}$  (Fig. 2)

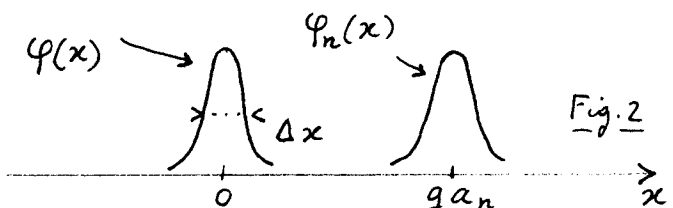


Fig. 2

Si l'on considère la position de  $P$  comme l'"aiguille" d'un appareil de mesure, cette aiguille est centrée sur une valeur,  $g_{an}$ , qui dépend bien de l'état  $|u_n\rangle$  dans lequel se trouve  $S$ .

### (ii) Cas où l'état initial de $S + P$ est

$$|\Psi(t_i)\rangle = \left( \sum_n c_n |u_n\rangle \right) \otimes |\varphi\rangle \quad (2.10)$$

$S$  est dans une superposition linéaire d'états propres de  $A$ . D'après la linéarité de l'équation de Schrödinger, on a alors, compte tenu de (2.5), (2.7) et (2.8)

$$|\Psi(t_f)\rangle = \sum_n c_n |u_n\rangle \otimes |\varphi_n\rangle \quad (2.11)$$

### c. Propriétés importantes de l'état final du système global

- L'état final (2.11) reflète l'existence de corrélations apparaissant entre  $S$  et  $P$  après l'interaction : à chaque état  $|u_n\rangle$  de  $S$  est associé un état  $|\varphi_n\rangle$  de  $P$ . Si l'on suppose que la fonction d'onde initiale  $\varphi(x)$  de  $P$  est suffisamment étroite, c.-à-d si

$$\Delta x \ll g/a_n - a_m \quad \text{si } n \neq m \quad (2.12)$$

les fonctions d'ondes  $\varphi_n(x)$  et  $\varphi_m(x)$  ne se recouvrent pas (si  $n \neq m$ ), de sorte que

$$\langle \varphi_n | \varphi_m \rangle = \delta_{nm} \quad (2.13)$$

La corrélation entre  $S$  et  $P$  est alors parfaite. A 2 états orthogonaux  $|u_n\rangle$  et  $|u_m\rangle$  de  $S$  sont associés 2 états orthogonaux de  $P$ .

- Les probabilités d'occupation des états  $|u_n\rangle$  de  $S$ , égales à  $|c_n|^2$  d'après (2.10) avant interaction, demeurent égales à  $|c_n|^2$  après interaction d'après (2.11). C'est en ce sens que

l'opération étudiée plus haut peut être considérée comme une mesure idéale de  $A$  (par opposition à des mesures non-idéales comme la détection d'un photon par effet photo-électrique qui détruit le photon détecté).

- L'état final (2.11) est une superposition linéaire de états  $|U_n\rangle \otimes |\Psi_n\rangle$  avec des amplitudes  $c_n$ , et non un mélange statistique de ces mêmes états avec des poids  $|c_n|^2$ . L'un des objets du cours de cette année est précisément de discuter les manifestations physiques de l'existence de ces cohérences quantiques entre  $|\Psi_m\rangle \otimes |U_m\rangle$  et  $|\Psi_n\rangle \otimes |U_n\rangle$  et de préciser les conditions dans lesquelles il est légitime de les ignorer.

#### d. Application des postulats de la mesure au système global

- Une fois que  $S$  et  $P$  ont interagi et que l'état du système global est passé de (2.10) à (2.11), on observe la position  $X$  de la particule  $P$  et on utilise les postulats de la mesure pour calculer les probabilités des divers résultats possibles.
- Si la largeur  $\Delta x$  de  $\varphi(x)$  est suffisamment petite, les états  $|\Psi_n\rangle$  peuvent être considérés comme des états propres approchés de  $X$ , orthogonaux les uns aux autres (voir (2.13)). La probabilité de trouver à  $t_f$   $P$  dans l'état  $|\Psi_n\rangle$  (c'est à dire l'aiguille dans la position  $q_{an}$ ) est égale ~~proportionnée~~ à la norme de la projection de  $|\Psi(t_f)\rangle$  dans le sous-espace soutenu par  $|\Psi_n\rangle$ , c'est à dire  $|c_n|^2 \langle U_n | \Psi_n \rangle = |c_n|^2$

On trouve le même résultat que si l'on appliquait les postulats de la mesure à  $S$  tout seul dans l'état initial  $\sum_n c_n |U_n\rangle$  et qu'on posait la question : quelle est la probabilité de trouver  $q_{an}$  quand on mesure  $A$  sur  $S$  dans cet état?

- La position  $X$  de  $P$  apparaît donc bien comme la position de l'aiguille d'un appareil mesurant  $A$ , puisque la probabilité de trouver cette aiguille arrêtée en  $q_{an}$  après interactions entre  $S$  et  $P$  est égale à la probabilité  $|c_n|^2$  de trouver  $q_{an}$  pour  $A$  avant l'interaction  $S-P$ .

En d'autres termes, la mesure de  $A$  sur  $S$  donne le même résultat (au facteur d'échelle  $q$  près) que la mesure de  $X$  sur  $P$  une fois que  $S$  et  $P$  ont interagi.

#### e. Quelques généralisations

##### (i) Valeurs propres dégénérées pour $A$

$$A |U_n^\alpha\rangle = a_n |U_n^\alpha\rangle \quad (2.14)$$

$\alpha$  indice de dégénérescence

$$\langle U_n^\alpha | U_m^\beta \rangle = \delta_{nm} \delta_{\alpha\beta} \quad (2.15)$$

- Les formules (2.5) et (2.7), (2.10) et (2.11) sont alors modifiées comme suit

$$|\Psi(t_i)\rangle = |u_n^\alpha\rangle \otimes |\varphi\rangle \rightarrow |\Psi(t_f)\rangle = |u_n^\alpha\rangle \otimes |\varphi_n\rangle$$

$$\begin{aligned} |\Psi(t_i)\rangle &= \left( \sum_n \sum_\alpha c_n^\alpha |u_n^\alpha\rangle \right) \otimes |\varphi\rangle \rightarrow \\ &\rightarrow \sum_n \left( \sum_\alpha c_n^\alpha |u_n^\alpha\rangle \right) \otimes |\varphi_n\rangle \end{aligned} \quad (2.17)$$

où  $|\varphi_n\rangle$  est toujours donné par (2.8)

- La probabilité de trouver à  $t_f$ ,  $S$  dans l'état  $|\varphi_n\rangle$  (c'est à dire l'angelle centré en  $g_n$ ) est égale à la norme de la projection de  $|\Psi(t_f)\rangle$  sur le sous espace soutenu par  $|\varphi_n\rangle$ , c'est à dire à  $\sum |c_n^\alpha|^2$ . On retrouve le même résultat que pour la probabilité de trouver  $a_n$  quand on mesure  $A$  sur  $S$  dans l'état initial  $\sum_n \sum_\alpha c_n^\alpha |u_n^\alpha\rangle$ .

### (ii) Définition générale d'une opération de mesure idéale

- Système  $S$ . Le même que plus haut. Equation (2.14)
- Appareil de mesure  $M$ . Plus général que la partie  $S$  considérée plus haut. Etat initial  $|\varphi\rangle$ .
- Interaction  $S-M$  de durée très brève, telle que, si  $S$  est initialement dans un état propre  $|u_n^\alpha\rangle$  de  $A$ , le système  $S+M$  se retrouve après interaction dans l'état  $|\Psi(t_i)\rangle = |u_n^\alpha\rangle \otimes |\varphi\rangle \rightarrow |\Psi(t_f)\rangle = |u_n^\alpha\rangle \otimes |\varphi_n\rangle$

L'état de  $S$  n'a pas changé, alors que l'état final  $|\varphi_n\rangle$  de  $M$  dépend de  $a_n$ . Cette corrélation est parfaite

$$\langle \varphi_n | \varphi_m \rangle = \delta_{nm} \quad (2.19)$$

- D'après la linéarité de l'équation de Schrödinger, on a alors  $\left( \sum_n \sum_\alpha c_n^\alpha |u_n\rangle \right) \otimes |\varphi\rangle \rightarrow \sum_n \left( \sum_\alpha c_n^\alpha |u_n^\alpha\rangle \right) \otimes |\varphi_n\rangle$

## ② Succession de 2 opérations de mesure idéales sur $S$ faites avec 2 appareils différents $m_A$ et $m_B$ (ref. 3)

### a. Problème étudié - Hypothèses simplificatrices.

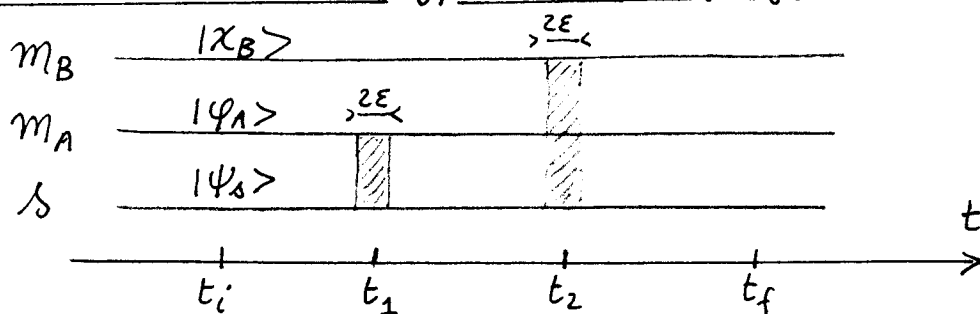


Fig. 3

- A l'instant initial  $t_i$ ,  $S$  est dans  $|\psi_s\rangle$ ,  $m_A$  dans  $|\varphi_A\rangle$ ,  $m_B$  dans  $|\chi_B\rangle$  (voir Fig. 3)

- L'interaction entre  $M_A$  et  $S$  est "branchée" entre  $t_1-\varepsilon$  et  $t_1+\varepsilon$ . Elle correspond à une mesure idéale de l'observable  $A$  de  $S$  effectuée à l'instant  $t_1$ . De même, l'interaction entre  $M_B$  et  $S$  est "branchée" entre  $t_2-\varepsilon$  et  $t_2+\varepsilon$  (avec  $t_2-t_1 \gg 2\varepsilon$ ) pour effectuer à  $t_2$  une mesure idéale de  $B$  sur  $S$  (Voir Fig. 3)
- Pour simplifier l'écriture, on néglige l'évolution propre de  $M_A$  et  $M_B$  (on pourrait aisément en tenir compte).  $M_A$  ( $M_B$ ) n'évolue donc qu'entre  $t_1-\varepsilon$  et  $t_1+\varepsilon$  ( $t_2-\varepsilon$  et  $t_2+\varepsilon$ ) par suite de l'interaction avec  $S$ . Par contre, on tient compte de l'évolution propre de  $S$  entre  $t_1$  et  $t_1$ ,  $t_1$  et  $t_2$ ,  $t_2$  et  $t_f$ , tout en négligeant l'évolution propre de  $S$  pendant les durées  $2\varepsilon$  de chaque interaction.

Toujours pour simplifier l'écriture, on suppose les valeurs propres  $a_n$  et  $b_q$  de  $A$  et  $B$  non dégénérées. Par contre,  $A$  et  $B$  ne commutent pas nécessairement et peuvent avoir des vecteurs propres  $|u_n\rangle$  et  $|v_q\rangle$  différents

$$A|u_n\rangle = a_n|u_n\rangle \quad B|v_q\rangle = b_q|v_q\rangle \quad (2.21)$$

- Dans ce qui suit, nous allons calculer l'évolution du système global  $S+M_A+M_B$  entre  $t_i$  et  $t_f$  (§ 2b), puis, en appliquant les postulats de la mesure à  $M_A$  et  $M_B$  à  $t_f$ , en déduire les probabilités d'observer les "aiguilles" de  $M_A$  et  $M_B$  dans des positions données. Comme les mesures sont idéales, nous en déduirons toutes les probabilités concernant les mesures de  $A$  à  $t_1$  et  $B$  à  $t_2$  (§ 2c). Nous pourrons alors, à partir de cette étude globale sur  $S+M_A+M_B$ , retrouver la "réduction du paquet d'ondes" qui est généralement postulée quand on considère uniquement  $S$ , sans inclure dans le système étudié  $M_A$  et  $M_B$  (§ 3)

## b- Calcul de l'état final du système global $S+M_A+M_B$

- On part de

$$|\Psi(t_i)\rangle = |\Psi_S\rangle \otimes |\varphi_A\rangle \otimes |\chi_B\rangle \quad (2.22)$$

- Entre  $t_i$  et  $t_1-\varepsilon$ , seul  $S$  évolue. Si  $U_S$  est l'opérateur d'évolution propre de  $S$

$$|\Psi(t_1-\varepsilon)\rangle = (U_S(t_1-\varepsilon, t_i)|\Psi_S\rangle) \otimes |\varphi_A\rangle \otimes |\chi_B\rangle \quad (2.23)$$

Développons l'état de  $S$  à l'instant  $t_1-\varepsilon$  sur la base  $\{|u_n\rangle\}$  des états propres de  $A$

$$U_S(t_1-\varepsilon, t_i)|\Psi_S\rangle = \sum_n |u_n\rangle \langle u_n| U_S(t_1-\varepsilon, t_i)|\Psi_S\rangle \quad (2.24)$$

- Entre  $t_1-\varepsilon$  et  $t_1+\varepsilon$ ,  $M_A$  n'évolue toujours pas. Comme l'interaction  $S-M_A$  correspond à une opération de mesure idéale, le système  $S+M_A$ , qui est, d'après (2.23) et (2.24), dans l'état  $\sum_n c_n |u_n\rangle \otimes |\varphi_A\rangle$  à l'instant  $t_1-\varepsilon$  (avec  $c_n = \langle u_n | U_S(t_1-\varepsilon, t_i) |\Psi_S\rangle$ ), se retrouve à l'instant  $t_1+\varepsilon$  dans l'état  $\sum_n c_n |u_n\rangle \otimes |\varphi_A^n\rangle$  où  $|\varphi_A^n\rangle$  est l'état de  $M_A$  corrélé avec  $|u_n\rangle$  (voir (2.10) et (2.11)). On peut donc écrire

$$|\Psi(t_1+\varepsilon)\rangle = \sum_n \langle u_n | U_S(t_1-\varepsilon, t_i) |\Psi_S\rangle |u_n\rangle \otimes |\varphi_A^n\rangle \otimes |\chi_B\rangle \quad (2.25)$$

On suppose les états  $\{|\varphi_A^n\rangle\}$  orthonormés (corrélation parfaite - voir (2.19))

- Entre  $t_1 + \varepsilon$  et  $t_2 - \varepsilon$ , seul  $S$  évolue. Il faut donc faire agir sur (2.25) l'opérateur  $U_S(t_2 - \varepsilon, t_1 + \varepsilon)$ . En développant, à l'instant  $t_2$ , le vecteur  $U_S(t_2 - \varepsilon, t_1 + \varepsilon)|\psi_n\rangle$  sur la base  $\{|v_q\rangle\}$  des états propres de  $B$ , on obtient

$$|\Psi(t_2 - \varepsilon)\rangle = \sum_n \sum_q \langle v_q | U_S(t_2 - \varepsilon, t_1 + \varepsilon) | \psi_n \rangle \langle \psi_n | U_S(t_1 - \varepsilon, t_i) | \psi_s \rangle \times |v_q\rangle \otimes |\varphi_A^n\rangle \otimes |\chi_B^q\rangle \quad (2.26)$$

- Entre  $t_2 - \varepsilon$  et  $t_2 + \varepsilon$ , seuls  $S$  et  $M_B$  évoluent.  $M_A$  reste "spectateur". En utilisant le fait que l'interaction  $S-M_B$  correspond à une mesure idéale et en introduisant les états  $|\chi_B^q\rangle$  de  $M_B$  corrélés (parfaitement) avec  $|v_q\rangle$ , on obtient

$$|\Psi(t_2 + \varepsilon)\rangle = \sum_n \sum_q \langle v_q | U_S(t_2, t_1) | \psi_n \rangle \langle \psi_n | U_S(t_1, t_i) | \psi_s \rangle \times |v_q\rangle \otimes |\varphi_A^n\rangle \otimes |\chi_B^q\rangle \quad (2.27)$$

On a remplacé  $\varepsilon$  par 0 dans les opérateurs d'évolution  $U_S$  figurant sur la 1<sup>re</sup> ligne de (2.26), puisqu'on suppose  $\varepsilon$  suffisamment petit pour que l'évolution propre de  $S$  pendant un temps  $\varepsilon$  soit négligeable.

- Enfin, entre  $t_2 + \varepsilon$  et  $t_f$ , seul  $S$  évolue, et il suffit d'appliquer  $U_S(t_f, t_2)$  à  $|v_q\rangle$  dans (2.27) pour obtenir  $|\Psi(t_f)\rangle$

### C. Calcul de quelques probabilités relatives aux résultats enregistrés par $M_A$ et $M_B$

Comme  $M_A$  et  $M_B$  n'évoluent pas après  $t_2 + \varepsilon$ , il suffit d'utiliser l'expression (2.27) de l'état du système global à  $t_2 + \varepsilon$

#### (i) Probabilité d'observer $a_n$ sur $M_A$ à $t_1$ et $b_q$ sur $M_B$ à $t_2$

- Après les 2 interactions en  $t_1$  et  $t_2$ , on observe les "aiguilles" de  $M_A$  et  $M_B$  et on utilise les postulats de la mécanique quantique pour calculer la probabilité de "lire" les résultats  $a_n$  sur  $M_A$  et  $b_q$  sur  $M_B$  (plus exactement  $g a_n$  et  $g' b_q$  où  $g$  et  $g'$  sont des constantes analogues à celle introduite en (2.2)). Cette probabilité n'est autre que la probabilité de trouver  $M_A$  dans  $|\varphi_A^n\rangle$  et  $M_B$  dans  $|\chi_B^q\rangle$  à  $t_2 + \varepsilon$ , c'est à dire encore la norme de  $P_A^n P_B^q |\Psi(t_2 + \varepsilon)\rangle$  où  $P_A^n = |\varphi_A^n\rangle \langle \varphi_A^n|$  et  $P_B^q = |\chi_B^q\rangle \langle \chi_B^q|$  sont les projecteurs sur les états  $|\varphi_A^n\rangle$  et  $|\chi_B^q\rangle$ . Enfin, comme  $M_A$  n'a pas évolué depuis  $t_1 + \varepsilon$ , la probabilité de lire  $a_n$  sur  $M_A$  à  $t_2 + \varepsilon$  est la même qu'à  $t_1 + \varepsilon$ . On en déduit, en utilisant (2.27) et le fait que  $(P_A^n P_B^q)^2 = P_A^n P_B^q = |\varphi_A^n \chi_B^q\rangle \langle \varphi_A^n \chi_B^q|$

$$\begin{aligned} \text{Proba(lire } a_n \text{ sur } M_A \text{ à } t_1 + \varepsilon \text{ et } b_q \text{ sur } M_B \text{ à } t_2 + \varepsilon) &= \\ &= \langle \Psi(t_2 + \varepsilon) | \varphi_A^n, \chi_B^q \rangle \langle \varphi_A^n, \chi_B^q | \Psi(t_2 + \varepsilon) = \\ &= |\langle v_q | U_S(t_2, t_1) | \psi_n \rangle \langle \psi_n | U_S(t_1, t_i) | \psi_s \rangle|^2 \end{aligned} \quad (2.28)$$

- Cette probabilité, relative à des résultats de lecture sur  $M_A$  et  $M_B$  est ainsi exprimée en fonction d'éléments de matrice relatifs au seul système  $S$ . Nous reviendrons plus loin sur ce point (§ 3).

(ii) Probabilité d'observer  $bq$  sur  $M_B$  à  $t_2$  sachant que l'on a observé  $a_n$  sur  $M_A$  à  $t_1$ .

- Calculons tout d'abord la probabilité de lire  $a_n$  sur  $M_A$  à  $t_1 + \varepsilon$ . D'après les postulats de la mécanique, et en écrivant pour simplifier  $P(a_n, t_1)$  pour Proba (lire  $a_n$  sur  $M_A$  à  $t_1 + \varepsilon$ ), on obtient, compte tenu de (2.25)

$$\begin{aligned} P(a_n, t_1) &= \langle \psi(t_1 + \varepsilon) | \varphi_A^n \rangle \langle \varphi_A^n | \psi(t_1 + \varepsilon) \rangle \\ &= |\langle u_n | v_s(t_1, t_i) | \psi_s \rangle|^2 \end{aligned} \quad (2.29)$$

- Par ailleurs, d'après la définition même de probabilité conditionnelle, on peut écrire

$$P(a_n, t_1 \text{ et } bq, t_2) = P(a_n, t_1) P(bq, t_2 / a_n, t_1) \quad (2.30)$$

où  $P(a_n, t_1 \text{ et } bq, t_2)$  est la probabilité double (2.28),  $P(a_n, t_1)$  la probabilité simple (2.29) et  $P(bq, t_2 / a_n, t_1)$  la probabilité conditionnelle que l'on cherche précisément à calculer ici et qui, suivant donc, compte tenu de (2.28), (2.29) et (2.30)

$$P(bq, t_2 / a_n, t_1) = |\langle v_q | v_s(t_2, t_i) | u_n \rangle|^2 \quad (2.31)$$

(iii) Probabilité d'observer  $bq$  sur  $M_B$  à  $t_2$ , quel que soit le résultat enregistré sur  $M_A$  à  $t_1$ .

- Les 2 interactions  $S-M_A$  et  $S-M_B$  ont bien lieu à  $t_1$  et  $t_2$  mais on ne lit pas le résultat enregistré par  $M_A$ . On s'intéresse seulement à la probabilité de lire  $bq$  sur  $M_B$  à  $t_2 + \varepsilon$  qui on notera  $P(bq, t_2 ; M_A \text{ non lu})$ . D'après les postulats de la mesure

$$P(bq, t_2 ; M_A \text{ non lu}) = \langle \psi(t_2 + \varepsilon) | \chi_B^9 \rangle \langle \chi_B^9 | \psi(t_2 + \varepsilon) \rangle \quad (2.32)$$

En reportant (2.27) dans (2.32) et en utilisant le fait que les états  $|\varphi_A^n\rangle$  sont orthonormés, on obtient

$$\begin{aligned} P(bq, t_2 ; M_A \text{ non lu}) &= \sum_n |\langle v_q | v_s(t_2, t_i) | u_n \rangle \langle u_n | v_s(t_1, t_i) | \psi_s \rangle|^2 = \\ &= \sum_n P(a_n, t_1 \text{ et } bq, t_2) = \sum_n P(a_n, t_1) P(bq, t_2 / a_n, t_1) \end{aligned} \quad (2.33)$$

Bien noter que la 1<sup>re</sup> ligne de (2.33) est une somme de carrés et non le carré d'une somme.

- Il est intéressant de comparer  $P(bq, t_2 ; M_A \text{ non lu})$  à  $P(bq, t_2 ; \text{sans } M_A)$  qui est la probabilité de lire  $bq$  sur  $M_B$  à  $t_2 + \varepsilon$  en l'absence de tout appareil  $M_A$  interagissant avec  $S$  entre  $t_i$  et  $t_1$ . Un raisonnement analogue à celui conduisant à (2.29) donne

$$P(bq, t_2 ; \text{sans } M_A) = |\langle v_q | v_s(t_2, t_i) | \psi_s \rangle|^2 \quad (2.34)$$

En utilisant  $U_S(t_2, t_1) = U_S(t_2, t_1) U_S(t_1, t_1)$  et en insérant la relation de fermeture  $\sum_n |u_n\rangle \langle u_n| = 1$  entre les 2  $U_S$ , on obtient [II-8]

$$P(bq, t_2; \text{sans } M_A) = \left| \sum_n \langle v_q | U_S(t_2, t_1) | u_n \rangle \langle u_n | U_S(t_1, t_1) | \psi_s \rangle \right|^2 \quad (2.35)$$

A la différence de (2.33), (2.35) est le carré d'une somme et non une somme de carrés.

En d'autres termes, même si  $M_A$  n'est pas là, l'interaction  $S - M_A$  à l'instant  $t_1$  fait disparaître des effets d'interférence entre "chemins" passant par des états différents  $|u_n\rangle$  à  $t_1$ , effets qui existent en l'absence de  $M_A$ .

### Rémarque

Si l'on rejette la mesure de  $A$  à  $t_1$  et celle de  $B$  à  $t_2$  sur un très grand nombre de systèmes identiques tous dans le même état initial  $|\psi_s(t_1)\rangle$ , la valeur moyenne du produit des résultats observés est

$$\sum_n \sum_q a_n b_q P(a_n, t_1 \text{ et } b_q, t_2) \quad (2.36)$$

En utilisant (2.28) et  $A = \sum_n a_n |u_n\rangle \langle u_n|$ ,  $B = \sum_q b_q |v_q\rangle \langle v_q|$ , on peut mettre (2.36) sous forme d'une fonction de corrélation, c.-à-d sous forme d'une valeur moyenne dans  $|\psi_s(t_1)\rangle$  d'un produit d'opérateurs de  $S$  pris, dans le point de vue de Heisenberg, à des instants différents (voir M. Goldberger and K. Watson, Phys. Rev. 134, B 919 (1964)).

## ③ La réduction du paquet d'ondes

### a. Nouvel éclairage apporté par l'approche globale précédente

- Deux types de postulats sur la mesure sont généralement utilisés quand on raisonne sur le système observé s seul, sans inclure dans l'analyse, comme nous l'avons fait ci-dessus, l'évolution de appareils de mesure  $M_A, M_B \dots$  qui interagissent avec s.

Postulat I sur la probabilité  $P(a_n)$  d'observer un résultat donné  $a_n$ . Fait intervenir la valeur moyenne du projecteur  $P_n = |u_n\rangle \langle u_n|$  sur le sous espace propre correspondant à  $a_n$

$$P(a_n) = \langle \psi | P_n | \psi \rangle \text{ ou plus généralement } P(a_n) = \text{Tr } \rho P_n \quad (2.37)$$

Postulat II sur l'état du système juste après une mesure (idéale) qui a donné  $a_n$ . C'est le fameux postulat de réduction du paquet d'ondes

$$|\psi\rangle \rightarrow \frac{P_n |\psi\rangle}{\sqrt{\langle \psi | P_n | \psi \rangle}} \text{ ou plus généralement } \rho \rightarrow \frac{P_n \rho P_n}{\text{Tr } \rho P_n} \quad (2.38)$$

- Par exemple, pour calculer la probabilité  $P(bq)$  lors d'une mesure de  $B$  à  $t_2$  sachant que l'on a trouvé  $a_n$  lors d'une mesure de  $A$  à l'instant  $t_1 < t_2$ , on utilise habituellement le raisonnement suivant :

Puisque l'on a trouvé  $a_n$  à l'instant  $t_1$ , l'état de s juste après cette mesure est, d'après le postulat II,  $|u_n\rangle$ .

Entre  $t_1$  et  $t_2$ , s évolue et son état en devient à  $t_2$   $|\psi_s(t_2)\rangle = U_S(t_2, t_1) |u_n\rangle$ . Si à  $t_2$  on mesure  $B$ , la probabilité de trouver  $bq$  est, d'après le postulat I

$$P(bq, t_2 / a_n, t_1) = \langle \psi_s(t_2) | v_q \rangle \langle v_q | \psi_s(t_2) \rangle = |\langle v_q | U_S(t_2, t_1) | u_n \rangle|^2 \quad (2.39)$$

- Plus haut, nous avons obtenu le même résultat (voir (2.31)) en étudiant l'évolution du système global  $S + M_A + M_B$  et en appliquant uniquement le postulat I, sans jamais utiliser le postulat II. En effet le résultat (2.31) a été déduit des probabilités (2.28) et (2.29), qui sont analogues à (2.37), et de la définition d'une probabilité conditionnelle.

Ainsi, si l'on inclut dans le système global étudié  $M_A$  et  $M_B$ , on n'a plus besoin du postulat de réduction du paquet d'ondes pour décrire l'état de  $S$  après la mesure. Les résultats obtenus en appliquant uniquement le postulat I au système global  $S + M_A + M_B$  coïncident avec ceux obtenus en appliquant les postulats I et II au seul système  $S$ . Le postulat II n'est donc pas aussi fondamental que le postulat I. Il permet essentiellement de faire l'économie d'une description globale de  $S + M_A + M_B$  et de raisonner uniquement sur  $S$ .

### b. Etat de $S$ après une mesure de $M_A$ non lue

- Dans la présentation habituelle où seul  $S$  est considéré, le raisonnement est le suivant.

Après une mesure de  $A$  ayant donné  $a_n$ , dont la probabilité est  $P(a_n) = \text{Tr} \rho P_n$  (postulat I, voir (2.37)), l'état du système  $S$  est devenu  $P_n = P_n \rho P_n / \text{Tr} \rho P_n = P_n \rho P_n / P(a_n)$  (postulat II, voir (2.38)). Si l'on n'observe pas le résultat obtenu, on peut seulement dire que, après la mesure, l'état de  $S$  est  $p_n$  avec une probabilité  $P(a_n)$ ,  $p_{n'}$  avec une probabilité  $P(a_{n'})$ .... Il s'agit là de la définition même d'un mélange statistique d'états, de sorte que l'état  $p'$  de  $S$  après la mesure non lue de  $A$  s'écrit

$$\rho \xrightarrow[\text{non lue}]{\text{Mesure de } A} p'$$

$$p' = \sum_n p_n P(a_n) = \sum_n \frac{P_n \rho P_n}{P(a_n)} P(a_n) = \sum_n P_n \rho P_n \quad (2.40)$$

$p'$  s'obtient donc à partir de  $\rho$  en ne gardant que les blocs diagonaux de  $\rho$  à l'intérieur de chaque sous espace propre de  $A$ . Toutes les cohérences quantiques entre états de valeurs propres  $a_n$  et  $a_{n'}$  différentes de  $A$  ont été détruites par la mesure de  $A$ , même si cette mesure n'est pas lue.

- Appliquons maintenant l'analyse globale du § 2 à un tel problème.

Nous connaissons l'état (2.25) du système global  $S + M_A + M_B$  à l'instant  $t_i + \epsilon$ , c'est à dire après l'interaction  $S - M_A$ . Cet état, qui est une superposition linéaire d'états et non un mélange statistique d'états, a été obtenu par résolution de l'équation de Schrödinger de  $S + M_A$  entre  $t_i - \epsilon$  et  $t_i + \epsilon$  (voir § 1 ci-dessus). Nous n'avons utilisé aucun postulat sur la mesure (ni I, ni II) puisque nous n'observons pas  $M_A$ .

Nous allons utiliser maintenant (2.25) pour faire des prévisions de résultats de mesure faisant intervenir des appareils

autres que  $M_A$ . En d'autres termes, une fois que  $S$  et  $M_A$  ont interagi à  $t_1$ , on ne s'intéresse plus à  $M_A$  et on suppose que  $S$  et  $M_A$  n'interagissent plus à nouveau. Toutes les prévisions concernant des mesures faites après  $t_1$  par des appareils  $M_B$  autres que  $M_A$  seront d'après (2.37) données par des valeurs moyennes d'observables telle que  $G_B \otimes I_A$  où  $G_B$  est une observable de  $M_B$  et  $I_A$  l'opérateur identité de  $M_A$ . Pour calculer ces probabilités, nous pourrons alors nous contenter d'utiliser la trace sur  $M_A$  de l'opérateur densité de  $S + M_A$  associé à (2.25)

$$\rho' = \text{Tr}_{M_A} P_{S+M_A}(t_1 + \epsilon) \quad (2.41)$$

A partir de (2.25) et (2.41), on obtient alors immédiatement, en utilisant l'orthogonalité des états  $\{|\psi_A^n\rangle\}$

$$\begin{aligned} \rho' &= \sum_n \sum_{n'}, \langle u_n | U_S(t_1, t_i) | \psi_s \rangle \langle \psi_s | U_S^\dagger(t_1, t_i) | u_{n'} \rangle \underbrace{\text{Tr}_{M_A} |\psi_A^n\rangle \langle \psi_A^{n'}|}_{} \times \\ &\quad \times |u_n\rangle \langle u_{n'}| \otimes |X_B\rangle \langle X_B| = \langle \psi_A^{n'} | \psi_A^n \rangle = \delta_{nn'} \\ &= |X_B\rangle \langle X_B| \otimes \sum_n |u_n| U_S(t_1, t_i) | \psi_s \rangle |^2 |u_n\rangle \langle u_n| \\ &= |X_B\rangle \langle X_B| \otimes \sum_n P_n \rho_s(t_1) P_n \end{aligned} \quad (2.42)$$

On retrouve bien que pour toutes les mesures ultérieures qui ne font plus intervenir  $M_A$ , on peut considérer que l'état de  $S$  après la mesure non lue de  $M_A$  est donné par le mélange statistique d'états (2.40)

- Le calcul précédent montre clairement que, si les cohérences quantiques de  $S$  entre  $|u_n\rangle$  et  $|u_{n'}\rangle$  (avec  $n \neq n'$ ) sont détruites après la mesure non lue de  $M_A$ , c'est parce que l'interaction  $S - M_A$  a corrélé  $|u_n\rangle$  et  $|u_{n'}\rangle$  à des états orthogonaux de  $M_A$   $|\psi_A^n\rangle$  et  $|\psi_A^{n'}\rangle$ . Les amplitudes quantiques associées à  $S$  dans  $|u_n\rangle$  et  $S$  dans  $|u_{n'}\rangle$  n'interfèrent plus car, en consultant  $M_A$ , on pourrait en principe savoir si  $S$  est dans  $|u_n\rangle$  ou  $|u_{n'}\rangle$ .

Notons cependant que, si la cohérence réduite de  $S$  entre  $|u_n\rangle$  et  $|u_{n'}\rangle$  est nulle, il n'en est pas de même pour  $S + M_A$  qui, d'après (2.25), est (après l'interaction  $S - M_A$ ) dans une superposition linéaire des états  $|u_n\rangle \otimes |\psi_A^n\rangle$  et  $|u_{n'}\rangle \otimes |\psi_A^{n'}\rangle$ . Si  $S$  et  $M_A$  interagissaient de nouveau, on obtiendrait des résultats erronés si l'on négligeait ces cohérences quantiques qui décrivent les corrélations apparaues entre  $S$  et  $M_A$  à l'issue de leur interaction (voir cours suivant).

## Références

- (1) J. Von Neumann, Mathematical Foundations of Quantum Mechanics, Princeton University Press (1955), chapitre VI.  
Reproduit dans Quantum Theory and Measurement, edited by J.A. Wheeler and W.H. Zurek, Princeton University Press (1983), p. 619
- (2) B. d'Espagnat, Conceptual Foundations of Quantum Mechanics, Benjamin 1971, 2<sup>e</sup> édition 1976
- (3) La présentation de ce paragraphe résulte de discussions avec Franck Laloë